

بررسی و مقایسه عملکرد شبکه‌های عصبی پیشرو و بازگشتی در کنترل فعال نویز صوتی

مهرشاد سلماسی^(۱) - همايون مهدوی نسب^(۲)

(۱) کارشناس ارشد - باشگاه پژوهشگران جوان، دانشگاه آزاد اسلامی، واحد نجف‌آباد
 (۲) استادیار - دانشگاه آزاد اسلامی، واحد نجف‌آباد

تاریخ دریافت: بهار ۱۳۹۰ تاریخ پذیرش: زمستان ۱۳۹۰

خلاصه: کنترل فعال نویز صوتی براساس تولید یک سیگنال نویز دیگر و تداخل آن با نویز اصلی انجام می‌شود. سیگنال تولیدشده دارای دامنه‌ای برای نویز اصلی و ۱۸۰ درجه اختلاف فاز نسبت به آن می‌باشد. در این مقاله، کنترل فعال نویز صوتی با استفاده از شبکه‌های عصبی پیشرو و بازگشتی انجام شده و عملکرد شبکه‌ها در کاهش نویز مورد بررسی و مقایسه قرار می‌گیرد. شبکه‌های عصبی پیشرو و بازگشتی با نویزهای صوتی موجود در پایگاه داده SPIB مورد آموزش و تست قرار می‌گیرند. برای مقایسه دقیق‌تر عملکرد شبکه‌ها، از نمونه‌های مشابه برای آموزش و تست و همچنین پیچیدگی مشابه در ساختار شبکه‌ها استفاده می‌شود. نتایج شبیه‌سازی‌ها نشان می‌دهند که شبکه‌های عصبی مورد بررسی را در کاهش نویز صوتی نشان می‌دهد. همچنین مشاهده می‌شود که شبکه بازگشتی Elman عملکرد بهتری را در کاهش نویز صوتی نسبت به شبکه پیشرو دارد.

کلمات کلیدی: کنترل فعال نویز، سیستم کنترل فعال نویز فیدبک، شبکه عصبی پیشرو، شبکه بازگشتی

بلندگو برای اولین بار توسط Paul Lueg در سال ۱۹۳۶ مطرح شد. در سال ۱۹۵۳ Olson و May الگوریتم فیدبک برای کنترل فعال نویز ارائه کردند. نبود تکنولوژی و امکانات لازم، پیاده‌سازی عملی سیستم‌های کنترل فعال نویز را به تأخیر انداخت. با توسعهٔ تکنیک‌های پردازش سیگنال‌های گستته در اویل دهه‌ی ۱۹۷۰، امکان پیاده‌سازی عملی سیستم‌های کنترل فعال نویز مهیا شد. در سال ۱۹۷۵ Kido و در سال ۱۹۷۸ Chaplin اولین طراحی‌های دیجیتال را در سیستم کنترل فعال نویز ارائه کردند [۳].

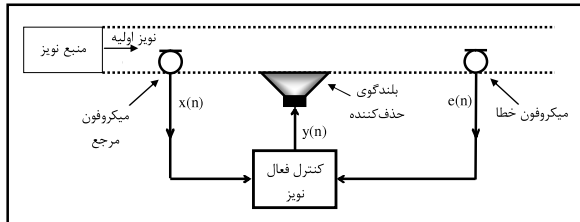
حذف نویز ترانسفورماتورها، فن‌ها، پمپ‌ها، کمپرسورها، لوله‌های تهویه‌ی هوا، لوله‌های خنک‌کننده، کاهش نویز درون اتوبیل و کابین هواپیما و ... تعدادی از کاربردهای کنترل فعال نویز می‌باشند [۲]. در [۴] تعدادی از کاربردهای جدید کنترل فعال نویز معرفی شده‌است. استفاده از فیلترهای وفقی FIR و IIR یکی از راجح‌ترین روش‌ها برای کنترل فعال نویز می‌باشد. ضرایب فیلتر در این روش بر اساس الگوریتم حداقل میانگین مربعات خطای تنظیم می‌شوند. اگرچه این سیستم‌ها در حذف نویزهای فرکانس پایین و باند باریک خوب عمل می‌کنند ولی معایبی نیز دارند.

۱- مقدمه
 پیشرفت صنعت و تکنولوژی، بزرگ‌شدن شهرها و زیاد شدن جمعیت، افزایش نویز صوتی و عوارض ناشی از آن را به همراه داشته‌است. روش‌های غیرفعال حذف نویز مانند جاذب‌ها یا عایق‌های صوتی مدت زمان زیادی به عنوان تنها راه حل موجود برای کاهش نویز صوتی مطرح بودند. پژوهی‌نیه بودن، نیاز به حجم زیاد عایق و عدم مؤثری‌بودن این روش‌ها در فرکانس‌های پایین منجر به ایجاد روش‌های فعل حذف نویز شد [۱].

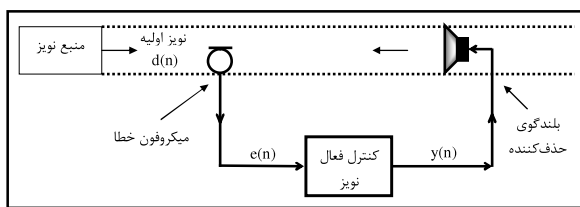
کنترل فعال نویز^(۱) بر پایهٔ تولید یک سیگنال نویز دیگر و تداخل آن با نویز تولیدشده از منبع اصلی استوار است. سیگنال نویز تولیدشده دارای دامنه‌ای برابر با نویز اصلی ولی ۱۸۰ درجه اختلاف فاز نسبت به آن می‌باشد. در حقیقت با تولید سیگنالی جدید و تداخل با سیگنال اولیه، نویز اصلی از بین بردۀ می‌شود [۲]. در شکل (۱) مفهوم فیزیکی کنترل فعال نویز با نشان دادن سیگنال‌های نویز، آنتنی نویز و نویز آنتنی نویز به دست می‌آید.

طراحی یک کنترل‌کننده‌ی فعل نویز متشكل از یک میکروفون و یک

فیدبک^(۱) استفاده می‌شود. هدف اصلی در سیستم فیدبک، تولید سیگنال‌های مرجع با استفاده از سیگنال خطأ می‌باشد. در شکل‌های (۲) و (۳) به ترتیب سیستم‌های کنترل فعل نویز پیشرو و فیدبک نشان داده شده‌است.

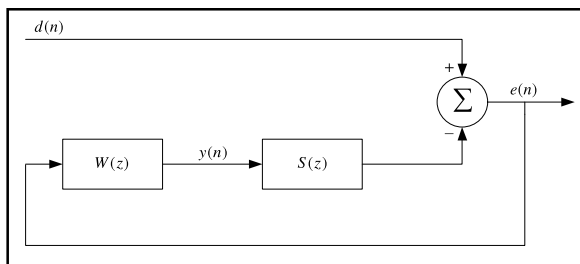


شکل (۲): سیستم کنترل فعل نویز پیشرو
Fig. (2): Feedforward active noise control system



شکل (۳): سیستم کنترل فعل نویز فیدبک
Fig. (3): Feedback active noise control system

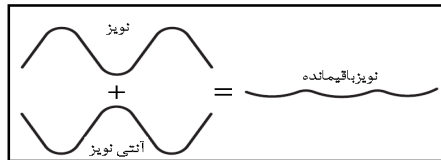
در این مقاله سیستم کنترل فعل نویز فیدبک مورد استفاده قرار می‌گیرد. در سیستم فیدبک، نویز اولیه ($d(n)$) موجود نمی‌باشد، بنابراین هدف اصلی در این سیستم، تخمین سیگنال ($d(n)$) با استفاده از سیگنال خطأ است. بلوک دیاگرام اولیه سیستم کنترل فعل نویز فیدبک در شکل (۴) نشان داده شده‌است.



شکل (۴): بلوک دیاگرام سیستم کنترل فعل نویز فیدبک
Fig. (4): Block diagram of the feedback ANC system

در دیاگرام فوق ($e(n)$ بیانگر n امین نمونه از سیگنال خطأ، $d(n)$ بیانگر n امین نمونه از منبع نویز و $y(n)$ بیانگر سیگنال تولیدشده از کنترل کننده می‌باشد. همچنین $W(z)$ نشان‌دهنده تابع انتقال کنترل کننده و $S(z)$ تابع انتقال مسیر ثانویه (مسیر عبور سیگنال از کنترل کننده تا میکروفون) می‌باشد. با توجه به بلوک دیاگرام شکل (۴)، نویز منبع را می‌توان بر حسب سیگنال خطأ به دست آورد،

$$(1) D(z) = E(z) + Y(z)S(z)$$



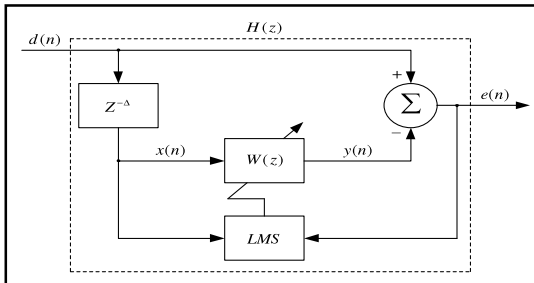
شکل (۱): مفهوم فیزیکی کنترل فعل نویز
Fig. (1): Physical concept of active noise control

به عنوان مثال فیلترهای FIR در مقابل فیلترهای باند گسترده خوب عمل نمی‌کنند و فیلترهای IIR نیز ممکن است در حین فرآیند تنظیم ضرایب ناپایدار شوند [۱]. در [۵] نشان داده می‌شود در شرایطی که کanal، بلندگو و میکروفون رفتار غیرخطی از خود نشان می‌دهند شبکه‌های عصبی عملکرد بهتری را در کاهش نویز نسبت به فیلترهای ورقی نتیجه می‌دهند. تاکنون کنترل فعل نویز صوتی با استفاده از شبکه‌های عصبی و الگوریتم‌های آموزشی مختلفی انجام شده است. به عنوان مثال این کار با استفاده از شبکه‌های پیشرو چندلایه (MLP)^(۳)، پایه شعاعی (RBF)^(۴) و بازگشتی انجام شده است [۶]-[۸]. با این وجود، بنابر مطالعات ما تاکنون مقایسه دقیقی بین عملکرد شبکه‌های عصبی مختلف در کنترل فعل نویز صوتی تحت شرایط مشابه انجام نشده است. براین اساس، هدف اصلی ما در این تحقیق بررسی بررسی مقایسه کارایی دو ساختار اساساً متفاوت شبکه‌های عصبی، یعنی شبکه‌های پیشرو^(۵) و بازگشتی^(۶)، در کنترل فعل نویز صوتی بوده است. برای این منظور، شبکه‌های عصبی طراحی شده با استفاده از نویزهای صوتی مشابه، آموزش دیده و عملکرد آنها به ازاء نمونه‌های باقیمانده نویز بررسی و مقایسه می‌گردد. برای انجام شبیه‌سازی‌ها، نویزهای صوتی موجود در پایگاه داده‌ی SPIB استفاده می‌شوند. نتایج شبیه‌سازی‌ها عملکرد بهتر شبکه‌ی عصبی بازگشتی را در کاهش نویز صوتی نشان می‌دهد.

در بخش (۲) ساختارهای سیستم کنترل فعل نویز در بخش (۳) نحوه طراحی شبکه‌های عصبی استفاده شده نشان داده می‌شود. شبیه‌سازی‌های انجام شده که عملکرد شبکه‌های عصبی پیشرو و بازگشتی را در کاهش نویز نشان می‌دهد در بخش (۴) و نتیجه‌گیری‌های حاصل در بخش (۵) ارائه می‌شوند.

۲- ساختارهای سیستم کنترل فعل نویز

سیستم‌های کنترل فعل نویز را می‌توان بر اساس ساختارهای پیشرو، فیدبک یا ترکیبی از هر دو پیاده‌سازی نمود. در سیستم کنترل فعل نویز پیشرو^(۷) با استفاده از میکروفون یا سنسورهای غیرآکوستیکی مانند تاکومتر، سیگنال‌های مرجع از منابع نویز دریافت می‌شوند. در صورت استفاده از میکروفون برای دریافت سیگنال‌های مرجع، سیستم کنترل فعل نویز را پیشرو باندپهن^(۸) و در صورت استفاده از سنسورهای غیرآکوستیکی، سیستم را پیشرو باندباریک^(۹) می‌نامند [۲]. سیستم پیشرو زمانی مورد استفاده قرار می‌گیرد که منابع نویز موجود بوده و سیگنال‌های مرجع به دست آمده از این منابع در دسترس باشند. زمانی که سیگنال مرجع در دسترس نباشد از سیستم کنترل فعل نویز



شکل (۶): بلوک دیاگرام سیستم فیدبک به عنوان پیش‌بینی‌کننده و فقی
Fig. (6): Block diagram of the feedback ANC system as an adaptive predictor

در شکل (۶)، بیانگر تابع انتقال سیستم کنترل فعال نویز فیدبک از سیگнал $x(n)$ به دست آمده، به عنوان سیگنال مرجع استفاده می‌شود. در شکل (۵) بلوک دیاگرام نهایی سیستم کنترل فعال نویز فیدبک

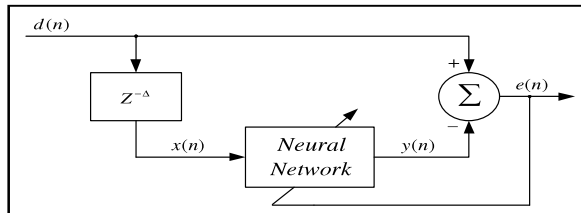
$$H(z) = \frac{E(z)}{D(z)} = 1 - S(z)W(z) \quad (7)$$

۲- ساختار شبکه‌های عصبی

در این مقاله، بهجای استفاده از فیلترهای وفقی از شبکه‌های عصبی به عنوان پیش‌بینی‌کننده نمونه‌ها استفاده می‌شود. بلوک دیاگرام استفاده شده برای پیش‌بینی نمونه‌های نویز با استفاده از شبکه‌های عصبی در شکل (۷) نشان داده شده است. در شبیه‌سازی‌های انجام شده

$$S(z) = z^{-1}$$

در نظر گرفته می‌شود. شبکه‌ی عصبی وظیفه‌ی پیش‌بینی نمونه‌های نویز را با استفاده از نمونه‌های قبلی به عهده دارد. به دلیل انتخاب تابع انتقال مسیر ثانویه به صورت z^{-1} ، شبکه‌ی عصبی N نمونه را به عنوان ورودی دریافت کرده و سپس با استفاده از این N نمونه، نمونه $+1$ ام $N+1$ ام را پیش‌بینی می‌کند. بلندگویی حذف کننده از نمونه‌ی پیش‌بینی شده برای حذف نویز صوتی استفاده می‌کند. برای پیش‌بینی نمونه‌های نویز، شبکه‌های عصبی پیشرو و بازگشتی مورد استفاده قرار می‌گیرند.



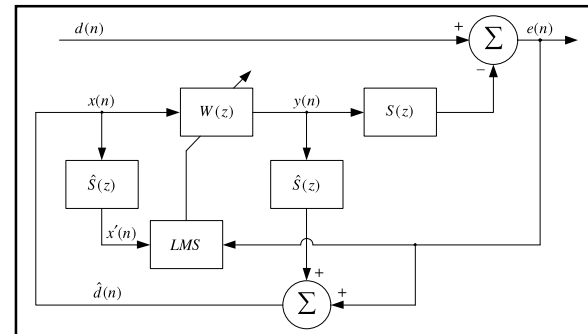
شکل (۷): بلوک دیاگرام سیستم کنترل فعال نویز استفاده شده در این تحقیق
Fig. (7): Final block diagram of the ANC system used in this research

ساختار شبکه‌ی عصبی پیشرو استفاده شده در شکل (۸) نشان داده شده است. همان‌طور که مشاهده می‌شود از یک شبکه‌ی پیشرو دو لایه برای کاهش نویز استفاده شده است. الگوریتم پس انتشار خطا (BP) جهت آموزش شبکه‌ی عصبی مورد استفاده قرار می‌گیرد. شبکه‌های پیشرو عموماً عملکرد بسیار خوبی در تخمین توابع دارند [۹].

تابع انتقال مسیر ثانویه را می‌توان به صورت $\hat{S}(z)$ تخمین زد. در نتیجه می‌توان تخمینی از نویز منبع را استخراج کرد،

$$X(z) \equiv \hat{D}(z) = E(z) + \hat{S}(z)Y(z) \quad (2)$$

از سیگنال $x(n)$ به دست آمده، به عنوان سیگنال مرجع استفاده می‌شود. در شکل (۵) بلوک دیاگرام نهایی سیستم کنترل فعال نویز فیدبک نشان داده شده است.



شکل (۵): بلوک دیاگرام نهایی سیستم کنترل فعال نویز فیدبک
Fig. (5): Complete block diagram of the feedback ANC system

با توجه به بلوک دیاگرام شکل (۵) مشاهده می‌شود،

$$x(n) \equiv \hat{d}(n) = e(n) + \sum_{m=0}^{M-1} \hat{s}_m y(n-m) \quad (3)$$

$$y(n) = \sum_{l=0}^{L-1} w_l(n) x(n-l) \quad (4)$$

که در روابط فوق، $m = 0, 1, \dots, M-1$ و $\hat{s}(m)$ برای تخمین مسیر ثانویه استفاده می‌شود. $w_l(n)$ و $l = 0, 1, \dots, L-1$ بیانگر ضرایب فیلتر وفقی $(W(z))$ FIR می‌باشد که این ضرایب با استفاده از الگوریتم FX-LMS^(۱) تنظیم می‌شوند.

$$w_l(n+1) = w_l(n) + \mu x'(n-l) e(n) \quad (5)$$

که در آن μ اندازه‌ی گام (step size) و $x'(n)$ سیگنال مرجع فیلتر شده مطابق رابطه‌ی (۴) می‌باشد،

$$x'(n) \equiv \sum_{m=0}^{M-1} \hat{s}_m x(n-m) \quad (6)$$

با توجه به روابط (۱) و (۲) مشاهده می‌شود در صورتی که (۱) باشد آنگاه $x(n) = d(n)$ می‌شود. در این صورت سیستم کنترل فعال نویز فیدبک به سیستم کنترل پیشرو تبدیل می‌شود. اگر در روابط فوق اندازه‌ی گام را کوچک و تابع انتقال مسیر ثانویه را به صورت تأخیر زمانی $S(z) = z^{-\Delta}$ فرض کیم، سیستم کنترل فعال نویز فیدبک معادل با یک سیستم پیش‌بینی‌کننده وفقی می‌شود. در شکل (۶) بلوک دیاگرام یک سیستم پیش‌بینی‌کننده وفقی که وظیفه پیش‌بینی نمونه‌های نویز را به عهده دارد نشان داده شده است.

به عنوان مثال نویز موجود در کابین هوایی F16، نویز موجود در یک کارخانه، نویز ایجاد شده توسط یک موتور و ... از جمله نویزهای صوتی موجود در این پایگاه داده می‌باشند. در [۱۱] با استفاده از پایگاه داده‌ی SPIB عملکرد ساختارهای مختلف سیستم کنترل فعل نویز مقایسه شده است. در [۱۲] حذف نویز کابین هوایی F16 و موتور که از نویزهای پایگاه داده‌ی SPIB هستند با استفاده از سیستم کنترل فعل نویز فیدبک انجام شده و کاهش نویزی حدود ۲۰ dB از ۵ گزارش شده است. برای انجام شبیه‌سازی‌ها، ۴ نمونه از نویزهای صوتی موجود در پایگاه داده انتخاب می‌شوند. برای این منظور از نویز تولید شده توسط تانک، نویز موجود در کابین هوایی F16، نویز صوتی درون اتوبیل و نویز ناشی از یک سلاح استفاده می‌شود. نویزهای موجود در پایگاه داده با نرخ نمونه‌برداری ۱۹.۹۸ kHz ضبط شده‌اند. پس از انتخاب نویز مورد نظر، از نمونه‌های نویز صوتی برای آموزش و تست شبکه‌ها استفاده می‌شود. برای این منظور نمونه‌های نویز صوتی را به دو بخش نمونه‌های آموزشی و نمونه‌های تست تقسیم می‌کنیم. از ۲۰۰۰ نمونه برای آموزش شبکه‌ها و از نمونه‌های باقیمانده برای تست شبکه‌ها استفاده می‌شود. عملکرد شبکه‌های پیشرو و بازگشتی آموزش دیده با نمونه‌های تست بررسی شده و میزان کاهش نویز آنها مورد مقایسه قرار می‌گیرد. عمل تست شبکه‌ها در ۳ نوبت انجام شده و در هر تست ۱۰۰۰۰ نمونه از نویز صوتی مورد نظر به صورت تصادفی انتخاب و به شبکه‌ها وارد می‌شوند. برای این منظور، بر اساس تعداد نمونه‌های نویز صوتی مورد نظر، یک عدد تصادفی انتخاب کرده و ۱۰۰۰۰ نمونه متولی بعد از عدد تصادفی انتخاب شده را به عنوان نمونه‌های تست به شبکه وارد می‌کنیم. برای محاسبه میزان کاهش نویز، انرژی سیگنال‌های نویز اصلی و نویز باقیمانده مقایسه می‌شود.

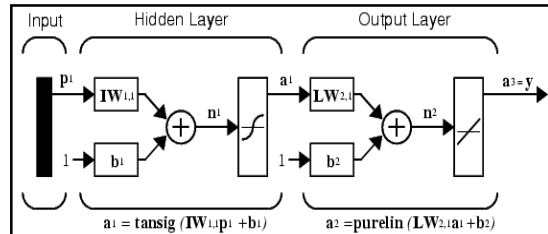
$$\text{Noise Attenuation} = 10 \times \log_{10} \frac{\text{Input Noise Energy}}{\text{Remained Noise Energy}} \quad (8)$$

در شبیه‌سازی اول از نویز تولید شده توسط تانک استفاده می‌شود. نویز صوتی فوق از یک تانک با نام m109 m که با سرعت 30 کیلومتر بر ساعت حرکت می‌کند ضبط و ذخیره شده است. همان طور که گفته شد از ۱۰۰۰۰ نمونه برای تست شبکه‌ها استفاده می‌شود. در جدول (۱) عملکرد شبکه‌های آموزش دیده در کاهش نویز صوتی ایجاد شده توسط تانک m109 نشان داده شده است. مشاهده می‌شود که شبکه Elman کاهش نویز بیشتری را نتیجه داده است.

Table (1): Performance of the trained networks in noise attenuation of M109 tank

جدول (۱): عملکرد شبکه‌های آموزش دیده در کاهش نویز تانک m109

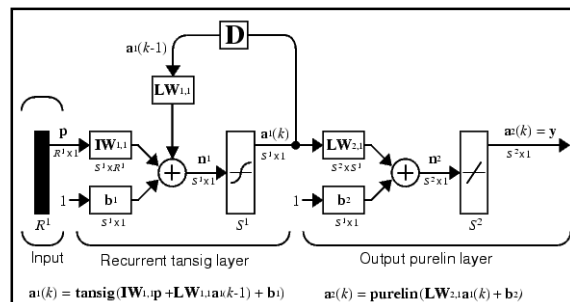
| شبکه | شبکه پیشرو | |
|-------|------------|---------|
| Elman | 27.8694 | تست اول |
| | 27.4684 | تست دوم |
| | 27.0261 | تست سوم |



شکل (۸): ساختار شبکه‌ی عصبی پیشرو

Fig. (8): Structure of the feedforward neural network

شبکه‌ی بازگشتی استفاده شده یک شبکه Elman می‌باشد. شبکه‌های Elman مشابه شبکه‌های پیشرو می‌باشند با این تفاوت که یک مسیر فیدبک از خروجی لایه‌ی مخفی به ورودی آن اضافه شده است. فیدبک موجود، نمونه‌های مرحله‌ی قبلی را برای پردازش در مرحله‌ی بعد ذخیره می‌کند. در شکل (۹) ساختار شبکه‌ی عصبی Elman نشان داده شده است.



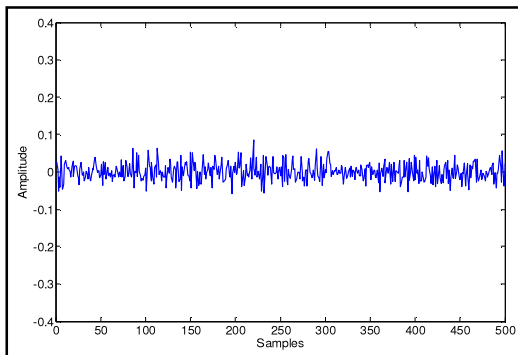
شکل (۹): ساختار شبکه‌ی عصبی Elman

Fig. (9): Structure of the Elman neural network

در شبکه‌های طراحی شدهتابع فعالیت لایه‌ی اول به صورت سیگموید دوطرفه و تابع فعالیت لایه‌ی دوم به صورت خطی در نظر گرفته شده است. برای مقایسه‌ی دقیق عملکرد شبکه‌ها، تعداد لایه‌ها و نورون‌های هر دو شبکه مانند هم در نظر گرفته می‌شود. همچنین برای آموزش و تست شبکه‌ها از نمونه‌های مشابه استفاده می‌شود. در طراحی شبکه‌ها بعد ورودی و تعداد نورون‌های لایه‌ی مخفی برابر ۲۰ در نظر گرفته می‌شود. همچنین به دلیل آنکه شبکه‌ی عصبی وظیفه‌ی پیش‌بینی نمونه‌ی بعدی را به عهده دارد لایه‌ی خروجی دارای ۱ نورون می‌باشد. بنابراین در شبیه‌سازی‌ها، ساختار شبکه‌های عصبی استفاده شده به صورت (20,20,1) NN در نظر گرفته می‌شود. شبکه‌های عصبی d(n-1), وظیفه‌ی پیش‌بینی نمونه‌ی d(n) را با استفاده از نمونه‌های d(n-2), ..., d(n-19), d(n-20) به عهده دارند.

۴- شبیه‌سازی‌ها

برای انجام شبیه‌سازی‌ها، پایگاه داده‌ی SPIB^(۱۴) مورد استفاده قرار می‌گیرد. پایگاه داده‌ی SPIB^(۱۵) توسط دانشگاه Rice تهیه شده است. این پایگاه داده شامل نویزهای صوتی از مکان‌های مختلف است.



شکل (۱۲): نویز باقیمانده

Fig. (12): Residual noise

نویز صوتی موجود در درون یک اتومبیل برای شبیه‌سازی دوم مورد استفاده قرار می‌گیرد. نویز صوتی فوق در هوای بارانی ضبط و ذخیره شده است. در هنگام ضبط صدا، اتومبیل با سرعت ۱۲۰ Km/h با دندنه ۴ بر روی یک جاده آسفالت در حال حرکت است. جدول (۲) عملکرد شبکه‌های عصبی آموزش دیده را در کاهش نویز صوتی درون اتومبیل نشان می‌دهد.

Table (2): Performance of the trained networks in noise attenuation of automobile cabin

جدول (۲): عملکرد شبکه‌های آموزش دیده در کاهش نویز صوتی درون اتومبیل

| میزان کاهش نویز (dB) | | |
|----------------------|------------|---------|
| شبکه | شبکه پیشرو | |
| Elman | 47.1487 | تست اول |
| 49.5744 | 45.2066 | تست دوم |
| 48.2081 | 47.8032 | تست سوم |
| 50.6561 | | |

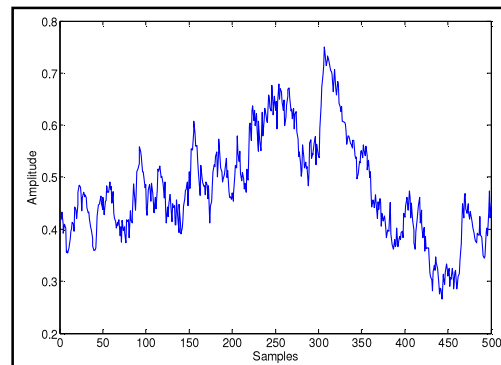
شبیه‌سازی سوم با استفاده از نویز صوتی تولید شده توسط یک سلاح انجام می‌شود. سلاح استفاده شده یک تفنگ با قطر لوله ۰.۵۰ می‌باشد که به طور مداوم شلیک می‌کند. در جدول (۳) عملکرد شبکه‌های آموزش دیده در کاهش نویز صوتی ایجاد شده توسط سلاح نشان داده شده است.

Table (3): Performance of the trained networks in noise attenuation of machine gun

جدول (۳): عملکرد شبکه‌های آموزش دیده در کاهش نویز صوتی سلاح

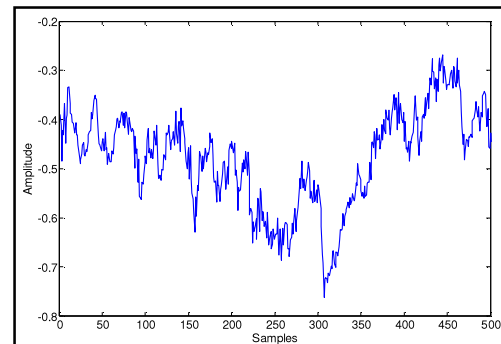
| میزان کاهش نویز (dB) | | |
|----------------------|------------|---------|
| شبکه | شبکه پیشرو | |
| Elman | 49.5218 | تست اول |
| 51.7237 | 50.489 | تست دوم |
| 51.4052 | 54.8838 | تست سوم |
| 57.9058 | | |

فرض کنید که ۵۰۰ نمونه از نمونه‌های نویز صوتی تانک m109 را به ورودی شبکه Elman آموزش دیده وارد می‌کنیم. در شکل (۱۰)، ۵۰۰ نمونه از نمونه‌های نویز صوتی تولید شده توسط تانک m109 نشان داده شده است. از شبکه عصبی انتظار داریم که نمونه‌های بعدی نویز را برای ما پیش‌بینی کند. سیگنال آنتنی نویز تولید شده توسط شبکه عصبی در شکل (۱۱) نشان داده شده است. همان‌طور که مشاهده می‌شود سیگنال‌های نویز و آنتنی نویز عکس یکدیگرند. نویز باقیمانده از تداخل سیگنال‌های نویز و آنتنی نویز به دست می‌آید. شکل (۱۲) نویز باقیمانده را نشان می‌دهد.



شکل (۱۰): نویز صوتی تولید شده توسط تانک m109

Fig. (10): M109 tank noise in time domain



شکل (۱۱): سیگنال آنتنی نویز تولید شده توسط شبکه عصبی Elman

Fig. (11): Antinoise signal generated with neural network

۵- نتیجه گیری

در این مقاله کنترل و کاهش فعال نویز صوتی با استفاده از شبکه‌های عصبی پیشرو و بازگشتی انجام و توانایی آنها در کاهش نویز صوتی مقایسه شد. شبکه‌ی عصبی Elman به عنوان یک شبکه‌ی بازگشتی در شبیه‌سازی‌ها مورد استفاده قرار گرفت. برای انجام شبیه‌سازی‌ها از پایگاه داده‌ی SPIB استفاده شد. برای این منظور پس از آموزش شبکه‌های عصبی پیشرو و بازگشتی با نویزهای صوتی موجود در پایگاه داده، عملکرد شبکه‌های آموزش دیده در کاهش نویزهای صوتی بررسی و مقایسه شد. نتایج شبیه‌سازی‌ها توانایی شبکه‌های عصبی پیشرو و بازگشتی را در کاهش نویز صوتی نشان داد. همچنین مشاهده شد که شبکه‌های عصبی بازگشتی عملکرد بهتری را در کاهش نویز صوتی نسبت به شبکه‌های پیشرو از خود نشان می‌دهند.

پی‌نوشت

- 1- Active Noise Control (ANC)
- 2- Least Mean Square Error (LMS)
- 3- Multi-Layer Perceptron
- 4- Radial Basis Function
- 5- Feedforward Neural Network
- 6- Recurrent Neural Network
- 7- Feedforward ANC System
- 8- Broadband Feedforward ANC
- 9- Narrowband Feedforward ANC
- 10- Feedback ANC System
- 11- Filtered-X LMS
- 12- Signal Processing Information Base

نویز صوتی موجود در کابین یک هواپیمای F16 برای شبیه‌سازی چهارم مورد استفاده قرار می‌گیرد. نویز صوتی فوق در کنار صندلی کمک خلبان ضبط و ذخیره شده است. در هنگام ضبط صدا، هواپیما با سرعت 600 Knots و در ارتفاع 300-600 feet در حال حرکت است. جدول (۴) عملکرد شبکه‌های عصبی آموزش دیده را در کاهش نویز صوتی هواپیمای F16 نشان می‌دهد.

Table (4): Performance of the trained networks in noise attenuation of F16 aircraft

جدول (۴): عملکرد شبکه‌های آموزش دیده در کاهش نویز هواپیمای F16

| شبکه پیشرو | میزان کاهش نویز (dB) | |
|------------|----------------------|---------|
| Elman | 23.7335 | تست اول |
| 25.1345 | 24.75 | تست دوم |
| 25.5037 | 24.478 | تست سوم |
| 25.3954 | | |

همان‌طور که در جدول‌های (۱)-(۴) مشاهده می‌شود شبکه‌ی عصبی Elman عملکرد بهتری را در کاهش نویز صوتی داشته است. این امر را می‌توان ناشی از هماهنگی بیشتر رفتار دینامیکی و وابسته زمان این شبکه با مسئله رودرروی آن دانست. البته، با مقایسه‌ی شبکه‌های فوق از نظر مدت زمان نیاز برای آموزش و تست، شبکه‌ی عصبی پیشرو در زمان کمتری آموزش دیده و در حین تست نیز مدت زمان کمتری را برای پاسخ‌گویی و تولید سیگنال آنتنی‌نویز نیاز دارد. همچنین شبکه‌ی Elman بدلیل وجود مسیر فیدبک از لایه مخفی به ورودی، پیچیدگی بیشتری را نسبت به شبکه‌ی پیشرو دارد. مسائل فوق نیاز به یک پردازنده مناسب را برای استفاده و پیاده‌سازی شبکه‌ی Elman ضروری می‌کند.

References

- [1] C.K. Chen, T.D. Chiueh, J.H. Chen, "Active cancellation system of acoustic noise in MR Imaging", IEEE Trans. on Biom. Eng., Vol.46, No.2, pp.186-191, Feb. 1999.
- [2] S.M. Kuo, D.R. Morgan, "Active noise control: A tutorial review", Proc. IEEE, Vol.87, No.6, pp.943-973, June 1999.
- [3] S.J. Elliott, P.A. Nelson, "Active noise control", IEEE Sig. Proc. Mag., Vol.10, pp.12-35, Oct 1993.
- [4] T. Habib, M. Kepesi, "Open issues of active noise control applications", In Proc. Int. Conf. Radi., pp.1-4, April 2007.
- [5] Y.L. Zhou, Q.Z. Zhang, X.D. Li, W.S. Gan, "Analysis and DSP implementation of an ANC system using a filtered-error neural network", J. of Sou. and Vib., Vol.285, Issue 1-2, pp.1-25, Aug. 2004.
- [6] A. Montazeri, J. Poshtan, M.J. Motlagh, "Evaluating the performance of a nonlinear active noise control system in enclosure", In Proc. IEEE Conf. Ind. Elec. Soc., Taipei, pp.2484-2488, Nov. 2007.
- [7] H.S. Yazdi, J. Haddadnia, M. Lotfizad, "Duct modeling using the generalized RBF neural network for active cancellation of variable frequency narrow band noise", J. Adv. Sig. Proc., Vol.2007, Issue. 1, pp.1-7, Jan. 2007.
- [8] R.T. Bambang, K. Uchida, R.R. Yacoub, "Active noise control in free space using recurrent neural networks with EKF algorithm", J. App. Soft Comp., Vol.8, Issue 4, pp.1498-1504, Sep. 2008.
- [9] S. Haykin, "Neural networks-A comprehensive foundation", Second edition, Prentice-Hall Incorporation, New Jersey, USA, 1999.
- [10] Rice University, Signal Processing Information Base [Online], Available: http://spib.rice.edu/spib/select_noise.html.
- [11] A.A. Milani, G. Kannan, I.M.S. Panahi, "On maximum achievable noise reduction in ANC systems", In Proc. IEEE Int. Conf. Acou. Spee. & Sig. Proc., Dallas, pp.349-352, March 2010.
- [12] C.K. Chen, T.D. Chiueh, "Multilayer perceptron neural networks for active noise cancellation", In Proc. IEEE Int. Symp. Circ. and Sys., Vol.3, pp.523-526, May 1996.